INSTITUTO GEOLOGICO y MINERO DE ESPAÑA

# MAPA GEOLOGICO NACIONAL

E. 1.50.000 MAGNA

Hoja 17-28 RETUERTA DEL BULLAQUE

Album de Fotografías

COMPAÑIA GENERAL DE SONDEOS, S.A.

Noviembre de 1.986

AS-9751

Estructura tabular de las series "armoricanas" en las cumbres del Chorito. Entre la vegetación se aprecian bien los bancos de cuarcita y las espectaculares pedrizas que tapizan sus vertientes.

AS-9752

Plataforma de sedimentos de raña en el interior de la sierra del Chorito (La Sartén).

AS-9753

Modelado característico de una vertiente. Las pedrizas se "entallan" en los glacis coluviales y/o conos de la raña. (La Sartén, Cabañeros).

AS-9754

Aspecto común de los sedimentos que componen los glacis y/o coluviones de la raña. Rasgos de hidromorfismo con cantos decolorados.

AS-9755

Detalle semejante al de la fotografía anterior. En este caso se aprecian también concentraciones ferruginosas.

AS-9756-9757

Panorámica con el embalse Torre de Abrahan. Se pueden observar: Al fondo el Macizo de Rocigalbo; a la derecha el Corral de Cantos y la Serranía de San Pablo de los Montes con sus abanicos aluviales; y a la izquierda las elevaciones septentrionales del Chorito con sus cumbres niveladas y el abanico aluvial de Valdelobillos que se inclina hacia el embalse.

AS-9758

Signos de bioturbación en el techo de un estrato cuarcítico de las alternancias superiores.

AS-9759

Flanco sur de la estructura del Chorito. Al fondo se aprecia muy debilmente la depresión de El Robledo.

AS-9761-62-63

Estructra periclinal de La Acibuta desde la Sierra de La Higuera. Más lejos y a la izquierda otra periclinal: el cerro de los Colmenares. Al fondo el resto del anticlinorio del Chorito y a la derecha la Depresión de Retuerta.

AS-9764

Otro aspecto de la estructura anterior. El horizonte está determinado por la "superficie inicial".

AS-9765

Potentes bancos de cuarcita armoricana de un flanco de la parte de anticlinal de la Sierra de La Higuera.

AS-9766

Cuarcita armoricana en Cerro Manceras. Se observa una clara desnivelación por falla.

AS-9767

El flanco norte del anticlinorio del Chorito en la salida del Arroyo del Carrizal. Al fondo la Depresión de Retuerta y la Serranía que constituye el flanco septentrional del sinclinorio de Las Guadalerzas.

AS-9768-69-70

La Depresión de Retuerta desde flanco septentrional de la estructura del Chorito. En primer término la depresión de Navas de Estena y en último las sierras que limitan por el Norte la Depresión de Retuerta.

AS-9771

Afloramiento de pizarras del Llanvirniense-Llandeilo en la depresión de Navas de Estena. Detalle de la superficie de estratificación y esquistosidad.

AS-9772

El afloramiento de la fotografía anterior con una perspectiva más amplia con la estratificación representada por un nivel claro algo más arenoso.

AS-9773-74

Las pizarras del Ordovícico medio en la depresión de Navas de Estena constituyendo una estructura sinclinal muy suave. La superficie representada en primer plano corresponde a una terraza del arroyo del Chorrillo.

AS-9775

Detalle de la perspectiva anterior

AS-9776

Otro aspecto parcial de los afloramientos de la fotografía 9373-74. En dicho lugar se ha recogido abundante fauna que ha determinado una edad Llanvirniense.

AS-9774

Bancos de areniscas y cuarcitas del Tremadociense. Se aprecian estructuras sedimentarias abundantes: ripples, amalgamaciones y bases canalizadas sobre todo.

AS-9778

La Depresión de El Robledo desde las altas superficies de El Chorito. La nivelación de cumbres de las sierras hercínicas del horizonte es total.

AS-9779

Detalle de una pedriza del angulo SE de la Hoja (Majada alta). El nivel de clastos coloreados es debido a una patina ferruginosa cuyo origen es probable que se deba a circulación de aguas, dentro del depósito.

AS-9780

Icnofósiles (Repidinia: Cruziana crawling) en la meseta armoricana de Majada Alta.

AS-9781

Afloramiento de areniscas y pizarras del Ordovicico medio afectado por alteración. Existen ripples y estratificación lenticular y flaser . El nivel oscuro que está ferruginizado es granulométricamente más grueso.

AS-9782

La depresión de Los Yébenes desde Los Pinares de Icona al oeste del Molinillo.

AS-9783

Techo de un banco de cuarcita con Pascicnus-Foclicnus. Alternancias superiores del Arenig.

AS-9784

Base canalizada y amalgamaciones de un banco de arenisca del Tremadoc.

AS-9785

Detalle del mismo afloramiento

AS-9785

"Skolithus" afectando a la laminación de una arenisca del Tremadoc.

AS-9787

Depósito de terraza (cono aluvial) sobre pizarras alteradas del Llanvirniense-Llandeilo en las proximidades de Retuerta del Bullaque.

AS-9788

Muro con "flute cast" en un potente banco areniscoso de las "Areniscas de Retuerta" del Llandeilo.

AS-9789

Otra perspectiva del afloramiento anterior donde se aprecia la base canalizada con huellas de corriente y amalgamaciones.

AS-9790

Aspecto de un afloramiento de areniscas y pizarras de las "Areniscas de Retuerta".

AS-9792

Pequeños niveles de areniscas y pizarras con estratificación lenticular y flaser ("Areniscas de Retuerta").

AS-9792

Otro afloramiento con estratificación lenticular y estratificación flaser de las "areniscas de Retuerta".

AS-9793-94-95

Los conos aluviales de la Depresión de Retuerta desde Valdeporquezuelas.

AS-9796

Abigarramiento característico de las pizarras alteradas del Llanvirniense-Llandeilo;afloramiento inmediatamente bajo los depósitos de la Raña.

AS-9797

La superficie de la Raña al fondo y las pizarras alteradas sobre las que se sustentan estas en primer término.

AS-9798

Conglomerado cuarcítico de los depósitos de los abanicos aluviales de la Raña.

AS-9799

Afloramiento de un depósito característico de Raña con nivel arenoso intercalado. Observese el empardecimiento de los cantos cuarcíticos.

AS-9800

Aspecto característico del tránsito "alternancia inferior del Tremadoc" a la "serie armoricana" con alternancias de bancos de cuarcita y pizarras.

AS-9801

Afloramiento muy próximo al anterior donde se puede destacar sobre todo dos hechos: uno estratigráfico o sedimentológico, la presencia de un canal representado por un banco cuarcítico con un brusco adelgazamiento y otro tectónico: la existencia de una esquistosidad oblicua a la estratificación.

AS-9802

Bancos con muros canalizados en la serie tránsito a la cuarcita armoricana.

AS-9803

Detalle de banco de cuarcita lenticular (canal) en el muro de la "serie armoricana".

AS-9804

Potente banco de cuarcita del Tremadoc.

AS-9805

Estructura de la cuarcita armoricana relacionada con la inflexión asociada a una falla de dirección hercínica (Raso de la Ventilla en la carretera de Horcajo de los Montes a Retuerta del Bullaque)

AS-9806

Coluvión antiguo con rasgos de hidromorfismo muy acusados (bandeado, decoloraciones y manchas de óxidos e hidróxidos de hierro). Encima está emplazado un empardecimiento actual.

AS-9807

Detalle del mismo coluvión anterior

AS-9808

Flanco sur del anticlinorio de El Chorito desde la cuerda de Cabañeros.

AS-9809

Aspecto característico de las acumulaciones detríticas de los conos aluviales de la Raña.

AS-9810

Detalle del afloramiento anterior. No cabe la menor duda de que en ningún caso estos depósitos pueden ser considerados como "fanglomerados".

AS-9811

Pizarras del Llanvirniense-Llandeilo alterados. Se observa también un cabeceo muy característico a favor de la pendiente topográfica.

AS-9751




AS-9752


AS-9753


AS-9754


AS-9155



AS-9758


AS-9759

AS-9761-62-63




AS-9764


AS-9765


AS-9766


AS-9767


AS-9768-69-70

AS-7131


AS-9772


AS-9772-74


AS-9775

AS-5776

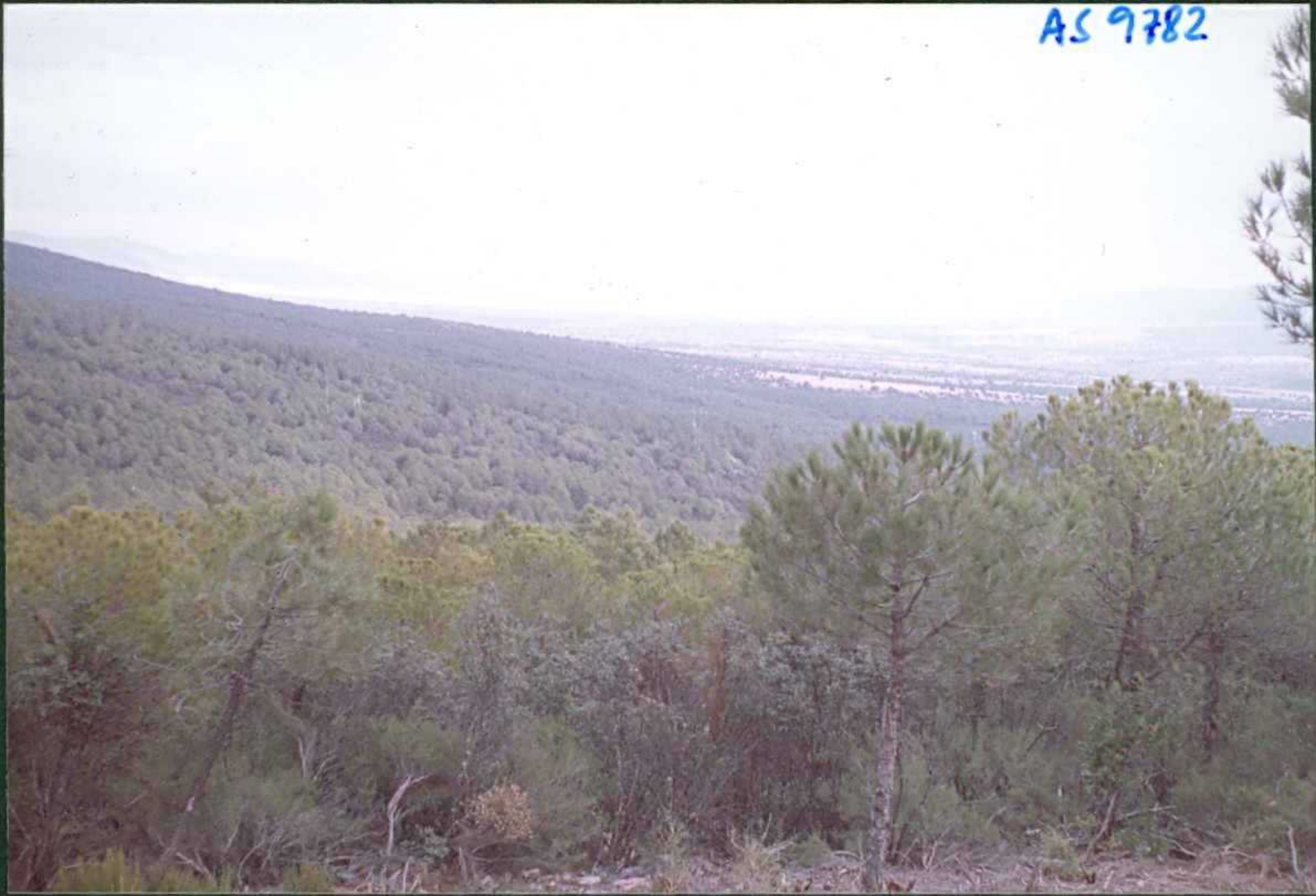

AS 9777

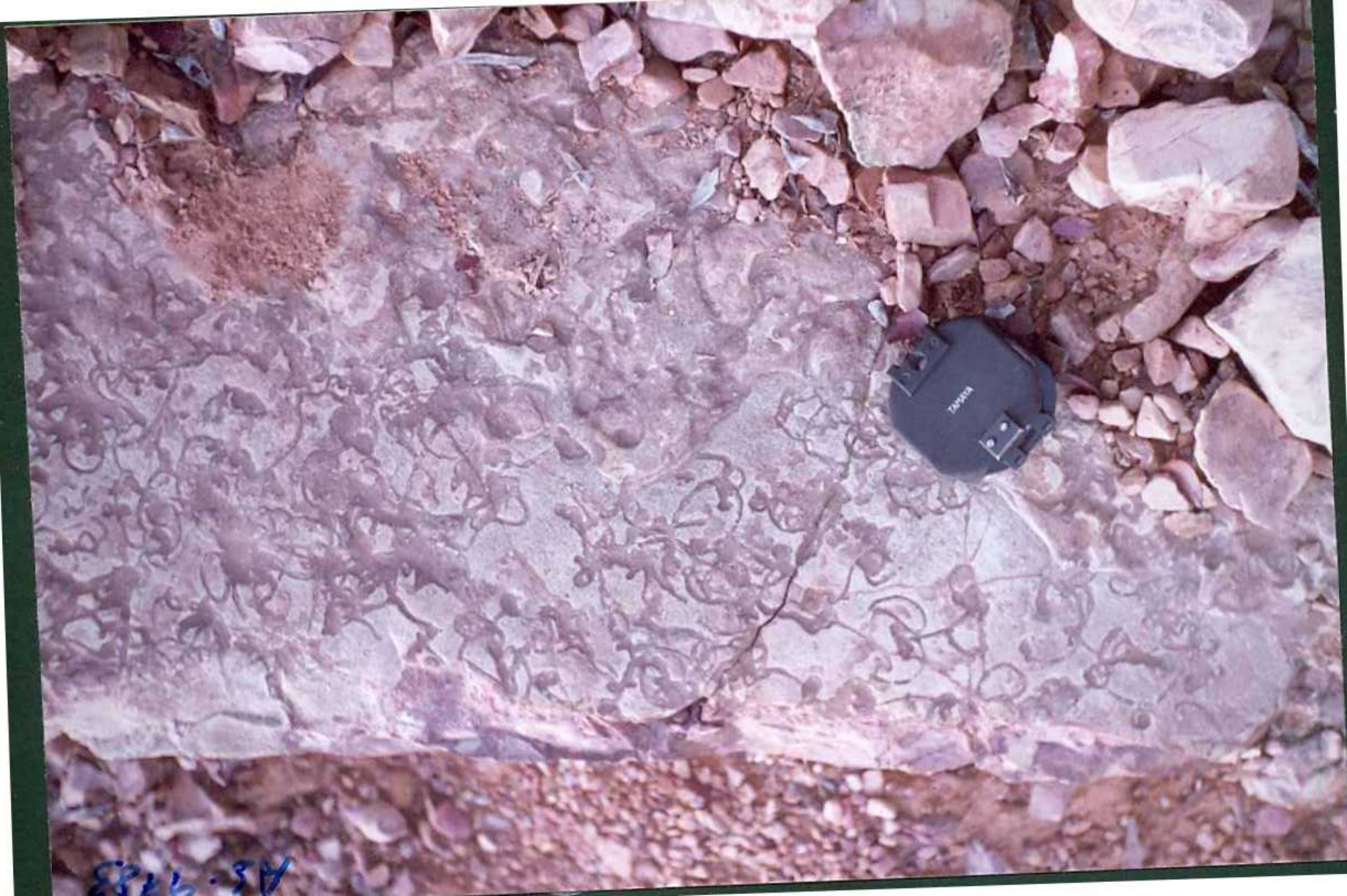

AS 9778


AS-9979

AS 9480


AS-9781


AS 9782


ZAMORA


45-47789


AS 9785


AS 9786


AS 7787


AS 9788


AS 9789

AS 7790

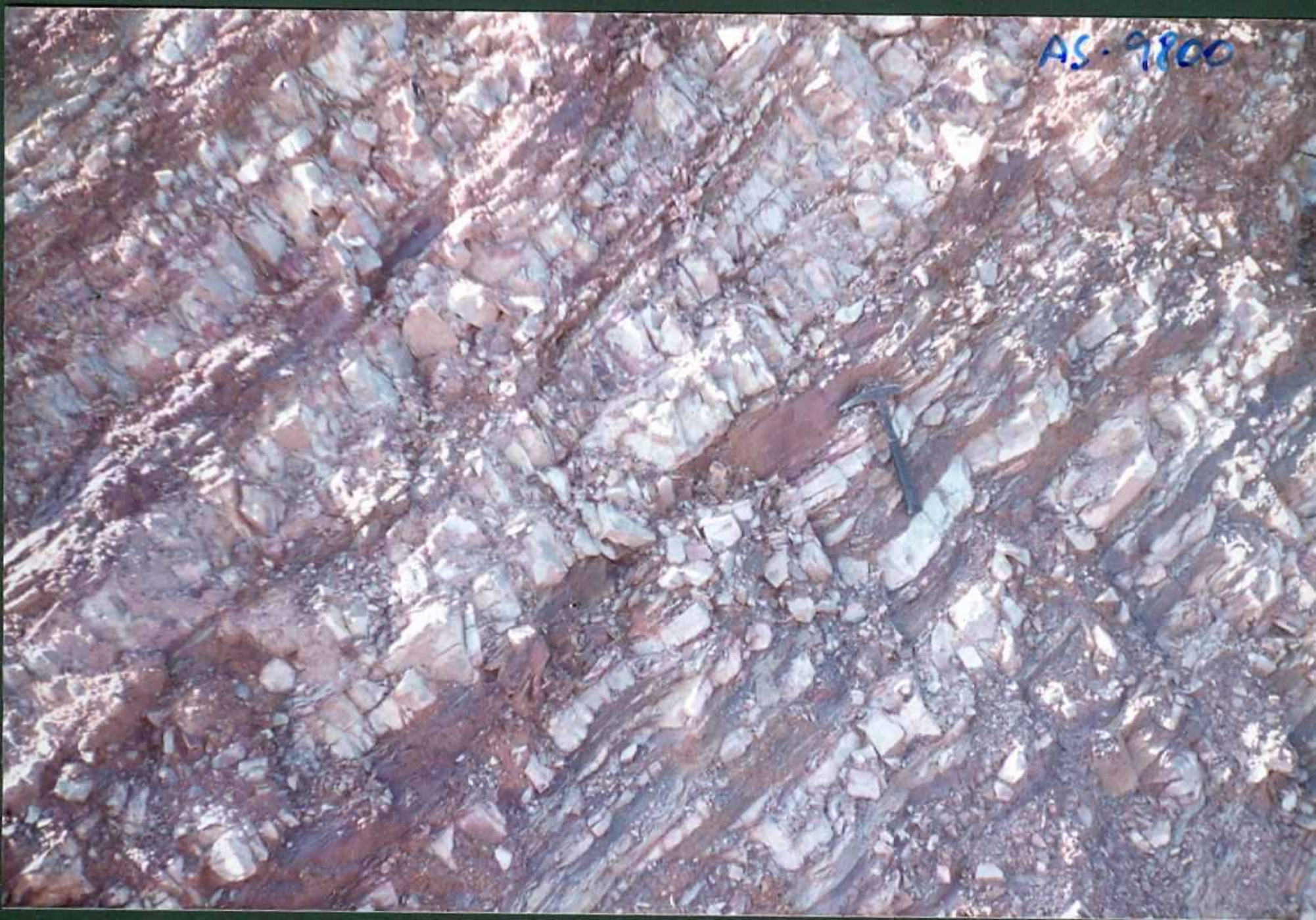

AS 9791


AS 9792.


AS-9793-94-95


AS-9796


95-9798

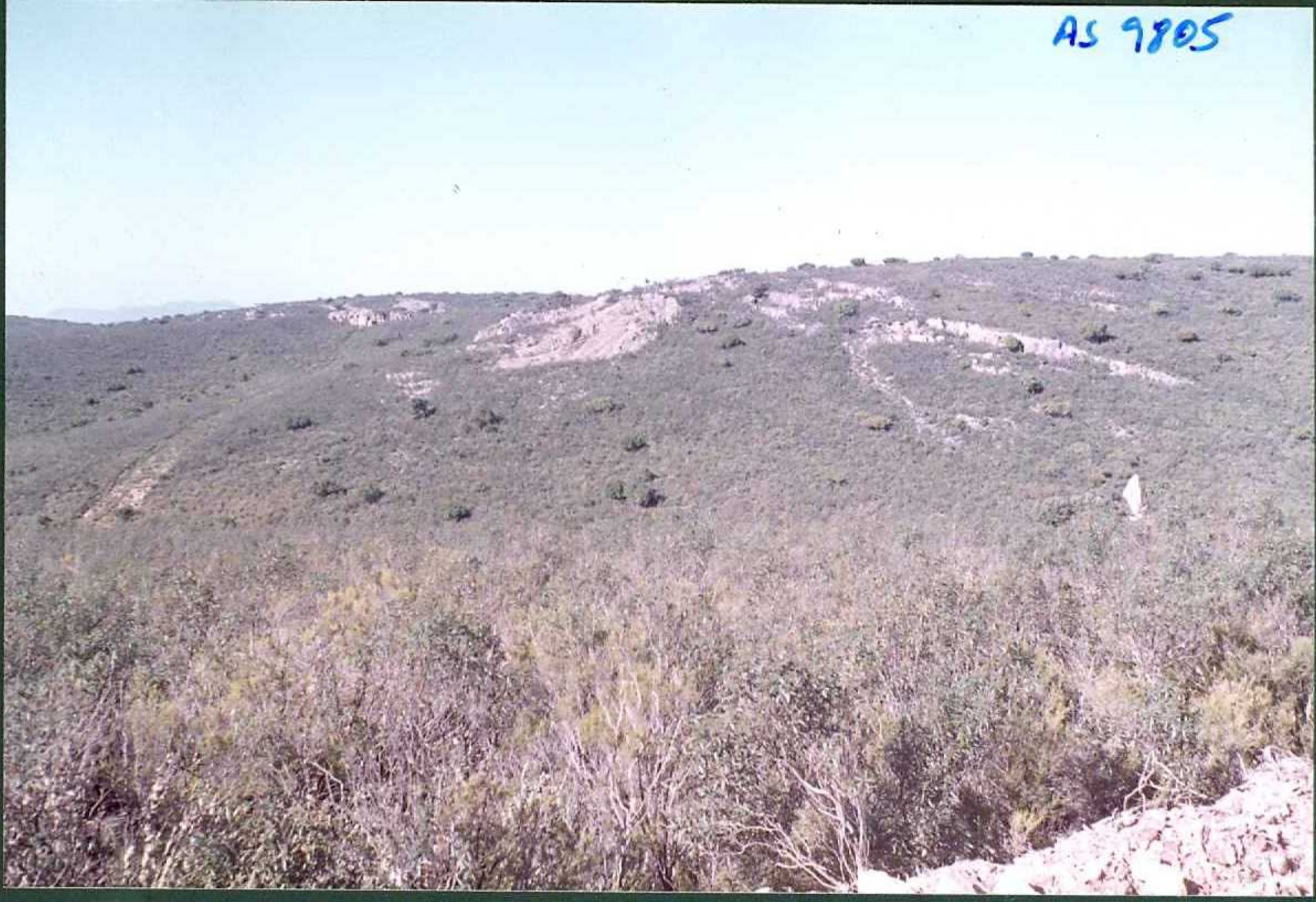

AS-9800


AS-9801

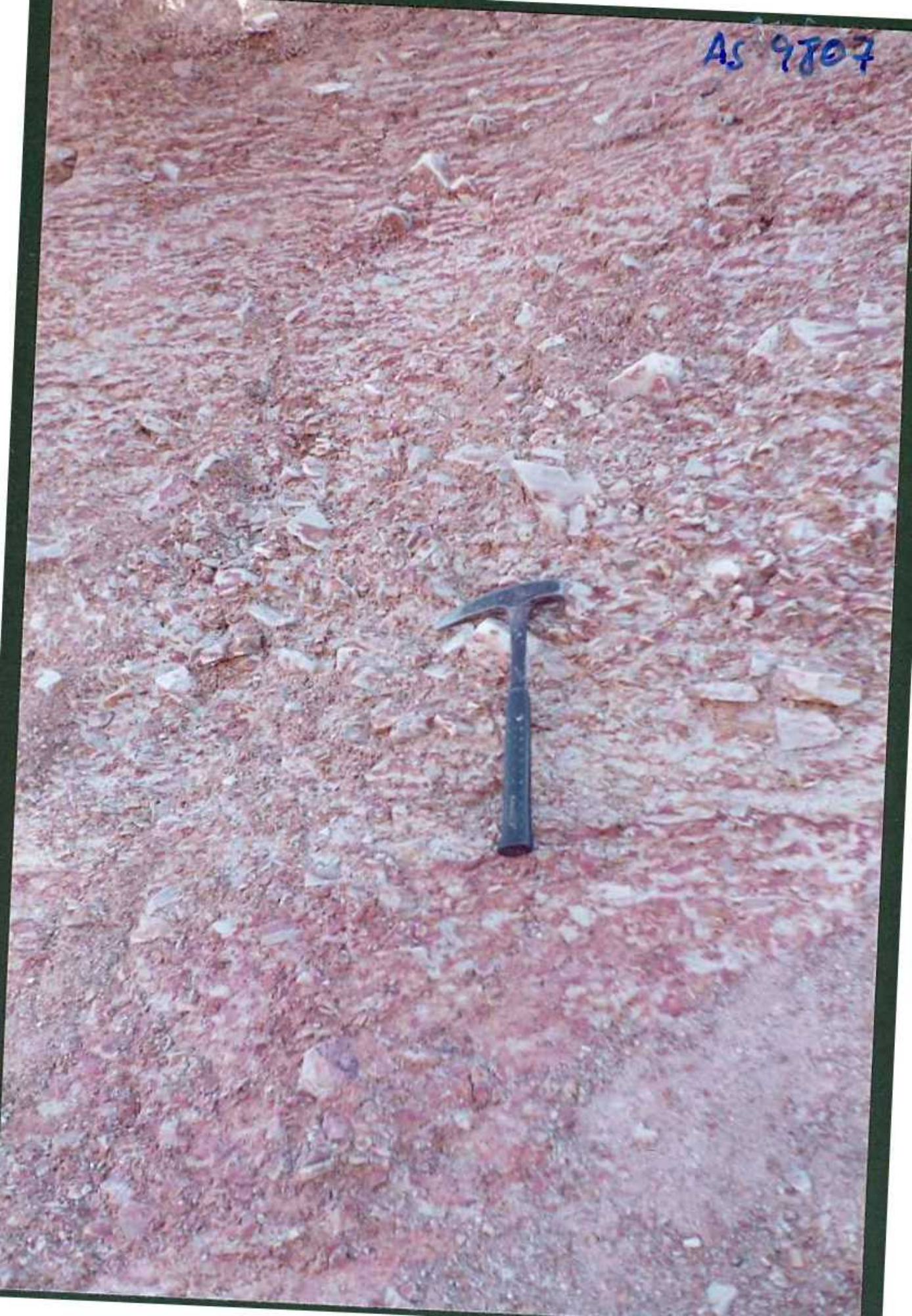

AS-9802

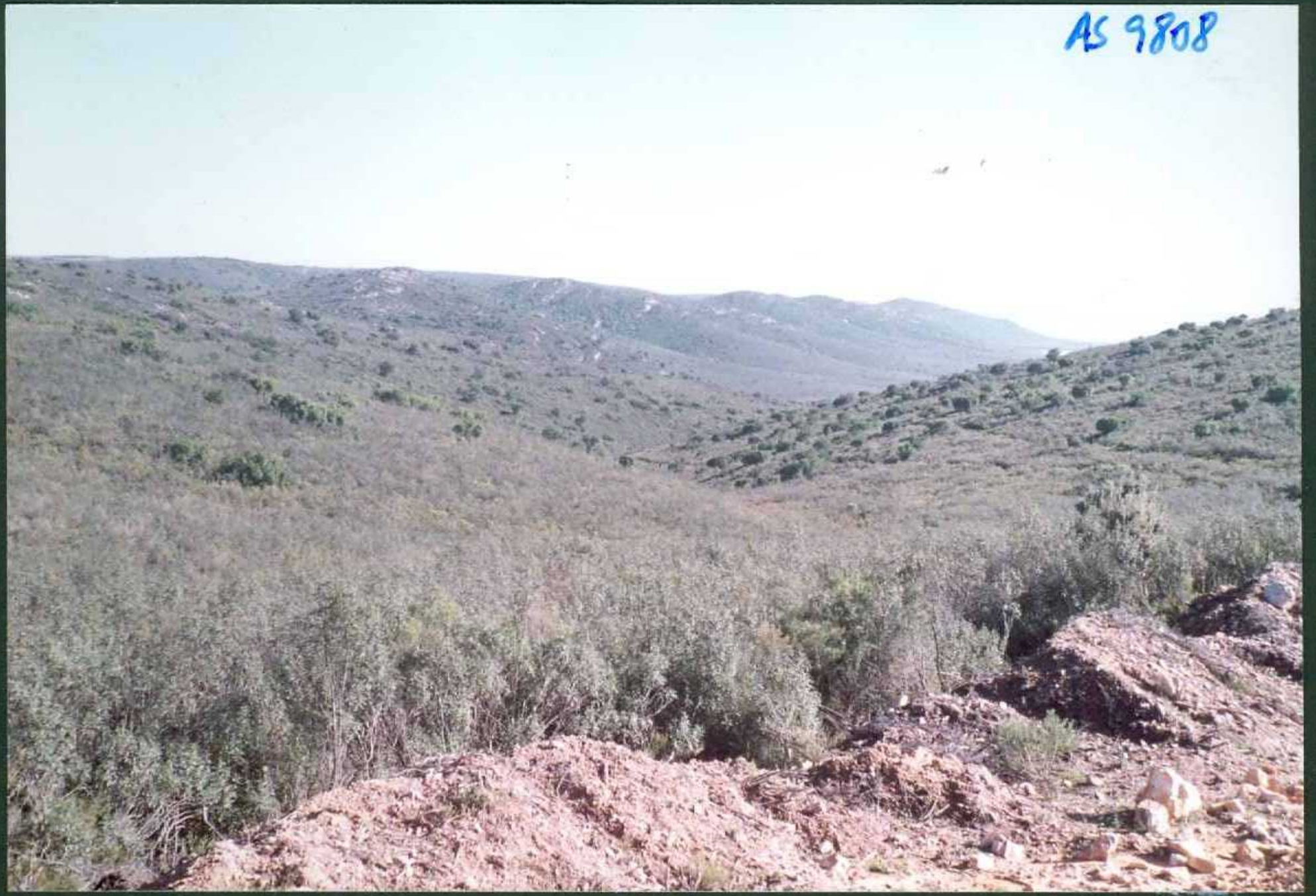

AS 9803


AS 9804

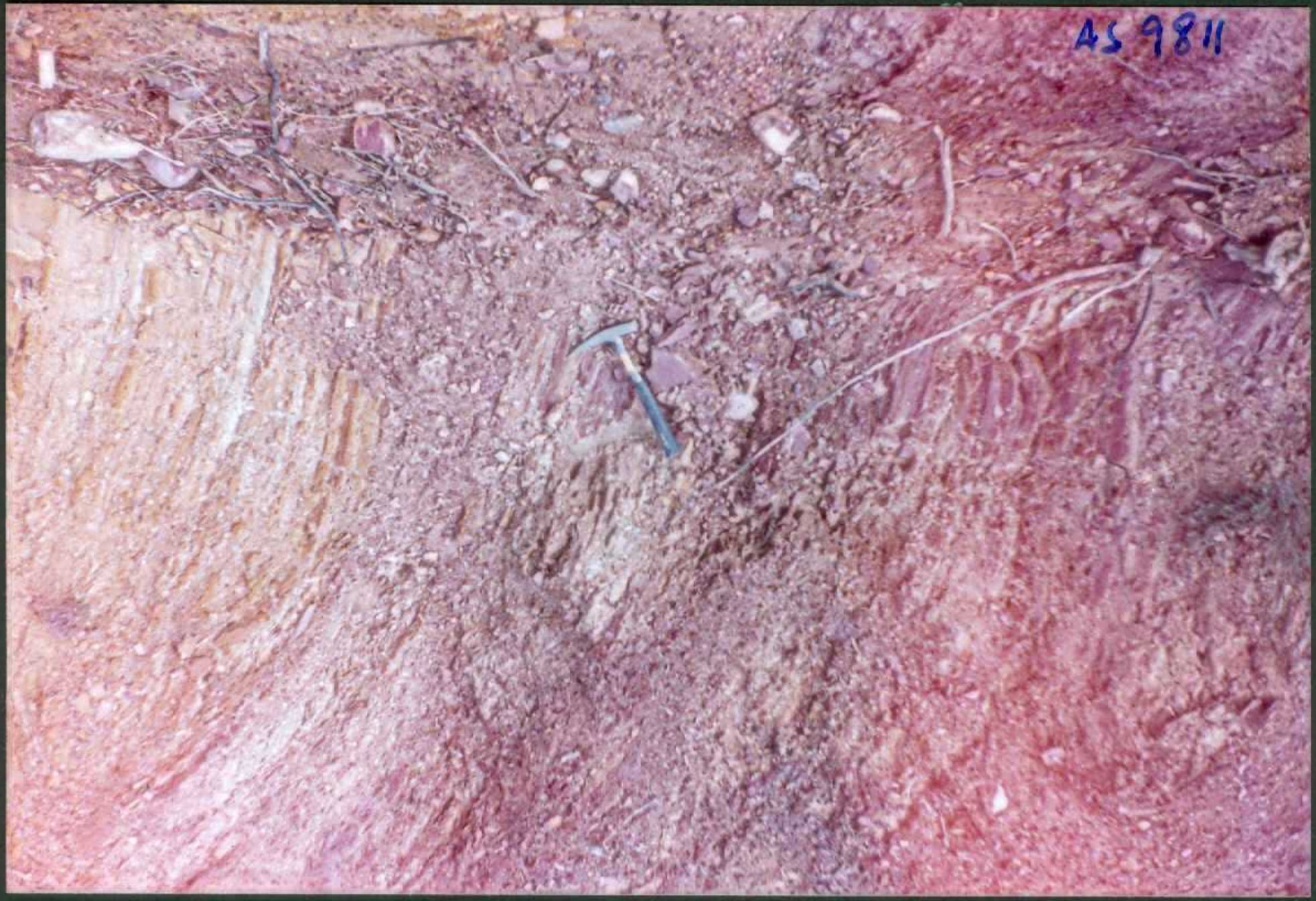

AS 9805


AS 9806


AS 9807


AS 9808


As 9809


AS 9811